

УДК 519.62, 519.63, 532.5

## ФРОНТАЛЬНАЯ ВОЛНА НАПОРНОГО ТЕЧЕНИЯ

*Н. А. Беляева, А. Ф. Яковлева*

Строится неоднородное решение диффузионно-кинетического уравнения модели напорного течения структурированной жидкости в области немонотонности расходно-напорной характеристики. Решение соответствует гетероклинической траектории, соединяющей два устойчивых однородных состояния.

*Ключевые слова:* напорное течение, однородные равновесные состояния, гетероклиническая траектория, бегущая волна.

### 1. Введение

В работе КПП, посвященной распространению доминантного гена [2], впервые представлено решение типа "бегущей волны". В дальнейшем подобные подходы были реализованы в задачах теории горения [4] и других областях математической физики, связанных с решением динамических задач, описываемых параболическими уравнениями [3].

В работах [4], [1] исследовано однородное напорное течение двухкомпонентной структурированной жидкости с переменной вязкостью, определена область значений параметров задачи, соответствующих немонотонному характеру расходно-напорной характеристики и, соответственно, возникновению трех равновесных состояний. При этом два крайних состояния устойчивы, а среднее неустойчиво.

Целью настоящей работы является исследование неоднородного решения диффузионно-кинетического уравнения модели напорного течения в области немонотонности расходно-напорной характеристики. Решение соответствует гомоклинической траектории, т. е. траектории фазового пространства рассматриваемого движения, выходящей из одного состояния равновесия и входящей в другое состояние равновесия.

## 2. Постановка задачи

Рассмотрим безразмерную усредненную по радиусу модель напорного течения двухкомпонентной структурированной жидкости по трубе кругового сечения:

$$\frac{\partial a}{\partial \tau} + \omega v \frac{\partial a}{\partial x} = \delta \frac{\partial^2 a}{\partial x^2} + 1 - a - a\chi \exp\left(\frac{v}{1 + \lambda a}\right), \quad (1)$$

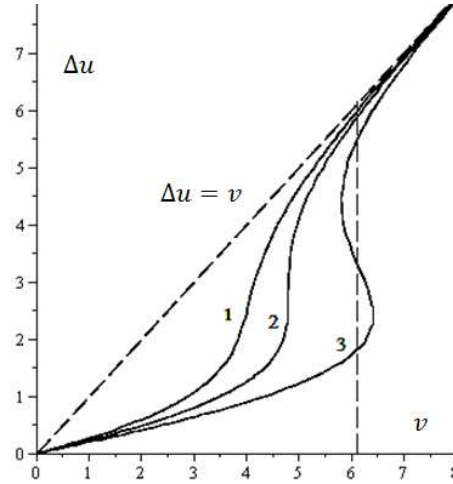
$$\epsilon \frac{\partial v}{\partial \tau} = -\frac{v}{1 + \lambda a} - \frac{\partial u}{\partial x} \quad (2)$$

с начальными и граничными условиями:

$$\tau = 0 : v = 0, a = a_0, \quad (3)$$

$$\frac{\partial a}{\partial x}\Big|_{x=0} = \frac{\partial a}{\partial x}\Big|_{x=1} = 0. \quad (4)$$

Здесь (1) — диффузионно-кинетическое уравнение, (2) — уравнение движения,  $a$  — степень структурных превращений,  $v$  — безразмерная скорость течения,  $u$  — давление,  $\tau$  — время,  $x$  — осевая координата  $0 \leq x \leq 1$ ,  $\omega, \delta, \chi, \lambda > 0$  — параметры жидкости.



**Рис. 1.** Расходно-напорная характеристика, 3:  $\lambda = 3, \chi = 0.18$

В работе [1] методом фазового портрета проанализированы соответствующие системе (1) — (4) однородные решения  $a_1 < a_2 < a_3$  в области немонотонности расходно-напорной характеристики (рис. 1), определяемой уравнением:

$$v = \Delta u \left( 1 + \frac{\lambda}{1 + \chi \exp \Delta u} \right),$$

где  $\Delta u = u(0) - u(1)$  — перепад давления. Показана устойчивость однородных равновесных состояний  $a_1, a_3$ , отвечающих возрастающим участкам расходно-напорной характеристики, неустойчивость состояния  $a_2$ , соответствующего убывающему участку.

Выберем значения параметров жидкости  $\chi, \lambda$ , скорость течения  $v$ , отвечающие немонотонному характеру расходно-напорной характеристики (рис. 1, кривая 3). При указанном выборе параметров исследуем диффузионно-кинетическое уравнение (1) на формирование неоднородных решений в трубе бесконечной длины, параметр  $\delta = 1$ . Для поиска таких решений применим к уравнению (1) метод «бегущей волны».

Введем переменную

$$\xi = x + \eta\tau,$$

$$-\infty \leq \xi \leq +\infty, \quad -\infty \leq x \leq +\infty, \quad \tau \geq 0,$$

где  $\eta$  — скорость волны. Тогда степень структурных превращений  $a$  будем искать в виде:

$$a = a(\xi) = a(x + \eta\tau).$$

В этом случае производные искомой функции  $a$  запишутся так:

$$\begin{aligned} \frac{\partial a}{\partial \tau} &= \frac{da}{d\xi} \frac{\partial \xi}{\partial \tau} = \eta \frac{da}{d\xi}, \quad \frac{\partial a}{\partial x} = \frac{da}{d\xi} \frac{\partial \xi}{\partial x} = \frac{da}{d\xi}, \\ \frac{\partial^2 a}{\partial x^2} &= \frac{\partial}{\partial x} \left( \frac{\partial a}{\partial x} \right) = \frac{d}{d\xi} \left( \frac{da}{d\xi} \right) \frac{d\xi}{dx} = \frac{d^2 a}{d\xi^2}. \end{aligned} \quad (5)$$

Таким образом, исследуемая задача, то есть уравнение (1) и граничные условия (4) с учетом (5), преобразуются к виду:

$$\frac{d^2 a}{d\xi^2} - (\eta + \omega v) \frac{da}{d\xi} + 1 - a - a\chi \exp\left(\frac{v}{1 + \lambda a}\right) = 0, \quad (6)$$

$$\frac{da}{d\xi} \Big|_{\xi \rightarrow -\infty} = \frac{da}{d\xi} \Big|_{\xi \rightarrow +\infty} = 0. \quad (7)$$

В общем случае функция  $a = a(\xi)$  описывает неоднородный переходный процесс между устойчивыми однородными состояниями  $a_1$  и  $a_3$ , т. е. решения, удовлетворяющие условиям:

$$a(-\infty) = a_1, \quad a(+\infty) = a_3, \quad (8)$$

или

$$a(-\infty) = a_3, \quad a(+\infty) = a_1. \quad (9)$$

Введем новые переменные:

$$x_1 = a, x_2 = \frac{da}{d\xi}, \quad (10)$$

и обозначим

$$1 - a - a\chi \exp\left(\frac{v}{1 + \lambda a}\right) \equiv F(x_1, v),$$

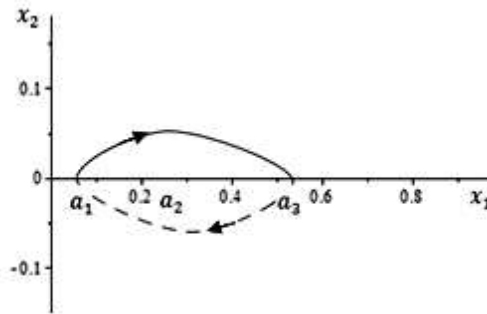
тогда уравнение (6) примет вид нормальной системы:

$$\begin{aligned} \frac{dx_1}{d\xi} &= x_2, \\ \frac{dx_2}{d\xi} &= (\eta + \omega v)x_2 - F(x_1, v). \end{aligned} \quad (11)$$

Точки равновесия системы (11) определяются условиями:

$$\begin{aligned} x_2 &= 0, \\ (\eta + \omega v)x_2 - F(x_1, v) &= 0. \end{aligned} \quad (12)$$

Сопоставление системы (12) и условий для определения точек равновесия однородного напорного течения [4], [1] показывает их совпадение при рассматриваемом фиксированном значении скорости течения и параметров жидкости, соответствующих области немонотонности расходно-напорной характеристики. Фазовым пространством систе-



**Рис. 2.** Гетероклиническая траектория

мы (11) является плоскость  $(x_1, x_2)$ . Нахождение неоднородного решения уравнения (6) между двумя устойчивыми однородными состояниями соответствует построению гетероклинической траектории (рис. 2), выходящей из одного устойчивого однородного состояния и входящей в другое устойчивое равновесное состояние, т. е. направление движения системы вдоль траекторий: из  $a_1$  в  $a_3$  или, наоборот, из  $a_3$  в  $a_1$ .

### 3. Стоячая волна

Рассмотрим случай, когда  $\eta = -\omega v$ , тогда уравнение (6) примет вид:

$$\frac{d^2 a}{d\xi^2} + F(a, v) = 0, \quad (13)$$

Покажем, что в этом случае равны площади криволинейных трапеций  $F_1$  и  $F_2$ , отсекаемые графиком функции  $y = F(a, v)$  (скорость  $v$  фиксирована), между равновесными однородными состояниями, т. е. на отрезках  $a_1 \leq a \leq a_2$  и  $a_2 \leq a \leq a_3$  (рис. 3).

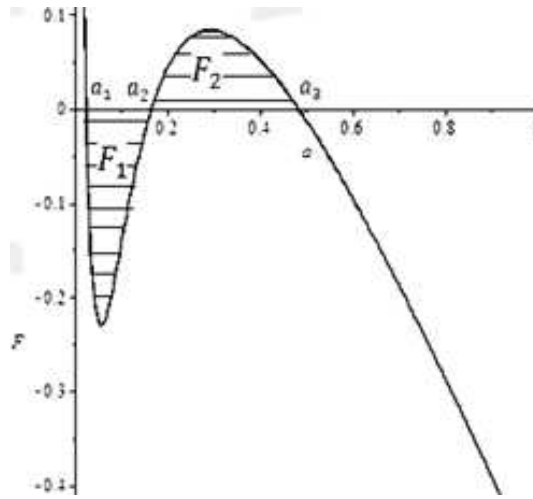


Рис. 3. График функции  $y = F(a, v)$ ,  $v = 6.08927$ ,  $\lambda = 5$ ,  $\chi = 0.18$

Перейдем к переменным  $x_1, x_2$  в соответствии с формулами (10), тогда (13) примет вид нормальной системы:

$$\begin{aligned} \frac{dx_1}{d\xi} &= x_2, \\ \frac{dx_2}{d\xi} &= -F(x_1, v). \end{aligned}$$

Разделим второе уравнение полученной системы на первое, получим:

$$\frac{dx_2}{dx_1} = -\frac{F(x_1, v)}{x_2}$$

или

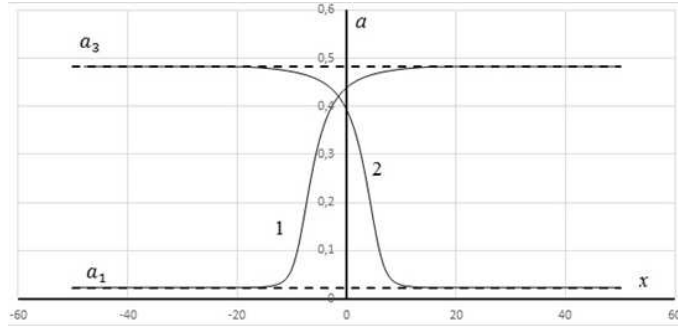
$$x_2 dx_2 = -F(x_1, v) dx_1.$$

Проинтегрируем последнее выражение по отрезку от  $a_1$  до  $a_3$  :

$$\int_{a_1}^{a_3} x_2 dx_2 = - \int_{a_1}^{a_3} F(x_1, v) dx_1,$$

$$\frac{x_2^2}{2} \Big|_{a_1}^{a_3} = - \left( \int_{a_1}^{a_2} F(x_1, v) dx_1 + \int_{a_2}^{a_3} F(x_1, v) dx_1 \right),$$

$$0 = \int_{a_1}^{a_2} F(x_1, v) dx_1 + \int_{a_2}^{a_3} F(x_1, v) dx_1. \quad (14)$$



**Рис. 4.** Стоячие волны,  $v = 6.0893$ ,  $\lambda = 5$ ,  $\chi = 0.18$

Вследствие того, что площадь трапеции

$$F_1 = - \int_{a_1}^{a_2} F(x_1, v) dx_1,$$

из (14) следует, что площади трапеций равны  $F_1 = F_2$ , т. е. условие

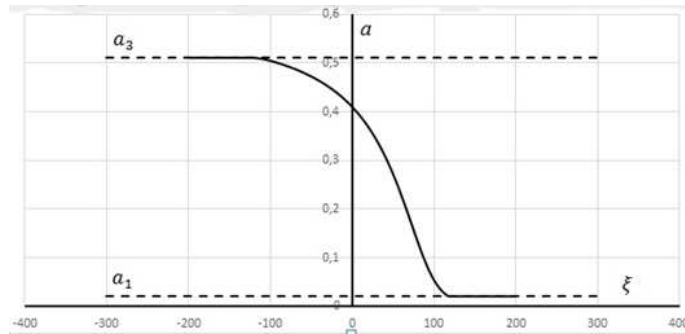
$$\eta = -\omega v \quad (15)$$

является условием равенства площадей. Уравнение (13) ввиду последней формулы соотношений (5) равносильно уравнению

$$\frac{d^2 a}{dx^2} + F(a, v) = 0, \quad (16)$$

которое описывает стационарное течение — стоячую волну. На рис. 4 изображены стоячие волны, удовлетворяющие условиям:

$$\begin{aligned} 1. a(-\infty) &= a_1, & a(+\infty) &= a_3, \\ 2. a(-\infty) &= a_3, & a(+\infty) &= a_1. \end{aligned}$$

Рис. 5.  $\lambda = 8, \chi = 0.3, \omega = 0.001, \eta = 50$ 

#### 4. Бегущая волна

При нарушении условия равенства площадей (15) стоячая волна превращается в бегущую в форме волнового фронта. Этот случай соответствует модели (6), (7). Данная модель решается численно с использованием метода прогонки.

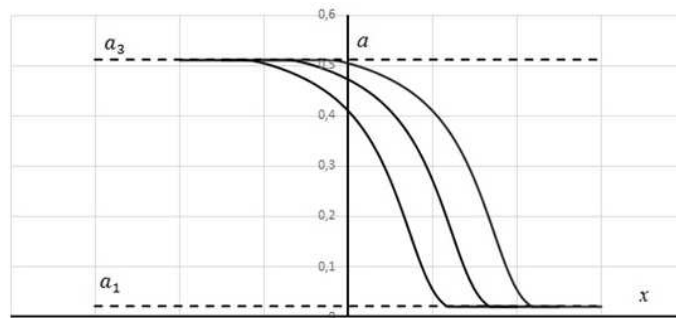


Рис. 6. Условия на рис. 5

Результаты численного анализа представлены на рис. 5 – 8. В случае  $\eta > 0$  волновой фронт движется слева направо — реализуется случай, соответствующий рис. 5, 6:  $a(-\infty) = a_3, a(+\infty) = a_1$ .

Заметим при этом, что на рис. 6 осуществлен возврат к исходной переменной  $x$  и показано положение фронта в разные моменты времени.

В случае  $\eta < 0$  волновой фронт движется справа налево — реализуется случай, изображенный на рис. 7, 8 и соответствующий условиям:  $a(-\infty) = a_1, a(+\infty) = a_3$ .

Таким образом, модель (6), (7) определяет семейство ограниченных монотонно возрастающих или монотонно убывающих решений, двига-

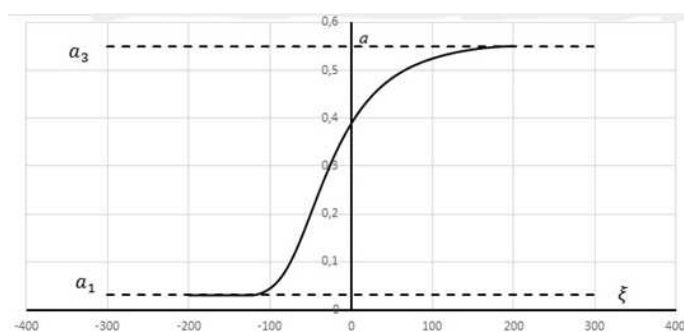


Рис. 7.  $\lambda = 5, \chi = 0.16, \omega = 0.001, \eta = -30$

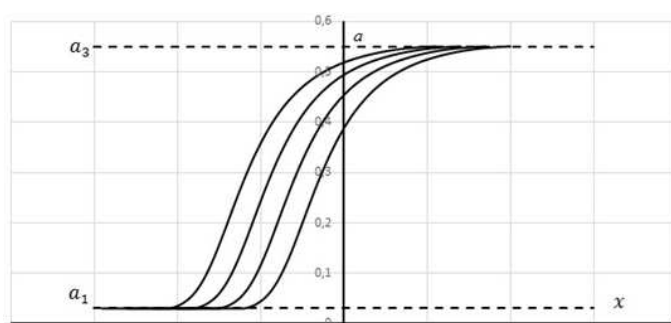


Рис. 8. Условия на рис. 7

ющихся в направлении оси  $x$  вправо или влево с постоянной скоростью  $\eta$ . При этом область распространения фронтальной волны достаточно узка.

## Список литературы

1. Беляева Н. А., Сажина А. Н. Анализ усредненного напорного течения // Двадцать третья годовичная сессия Ученого совета Сыктывкарского государственного университета имени Питирима Сорокина (Февральские чтения) : сборник материалов / отв.ред. Н. С. Сергиева. Сыктывкар: Изд-во СГУ им. Питирима Сорокина, 2016. С. 60–69.
2. Колмогоров А. Н., Петровский И. Г., Пискунов Н. С. Исследование уравнения диффузии, соединенной с возрастанием количества вещества, и его применение к одной биологической проблеме. М.: Бюл. МГУ. Секция А, 1937.

3. **Холоднюк М., Кулич А., Кубичек М., Марек М.** Методы анализа нелинейных динамических моделей. М.: Мир, 1991. 368 с.
4. **Худяев С. И.** Пороговые явления в нелинейных уравнениях. М.: Физматлит, 2003. 272 с.

### Summary

**Belyaeva N. A., Yakovleva A. F.** Frontal wave of pressure flow

The model of a pressure flow of a structured liquid is analyzed. An inhomogeneous solution of the diffusion-kinetic equation is constructed in the region of nonmonotonicity of the discharge-pressure characteristic. This solution corresponds to a heteroclinic trajectory connecting two stable homogeneous states.

*Keywords: pressure flow, homogeneous equilibrium states, heteroclinic trajectory, traveling wave.*

### References

1. **Belyaeva N. A., Sazhina A. N.** Analiz usrednennogo napornogo techeniya (Analysis of the averaged pressure flow), *Twenty-third annual session of the Academic Council of Syktyvkar State University named after Pitirim Sorokin (February readings): a collection of materials / Otv.red. N. S. Sergiev*, Syktyvkar: Publishing House of SSU named after Pitirim Sorokin, 2016, pp. 60–69.
2. **Kolmogorov A. N, Petrovsky I. G, Piskunov N. S.** Issledovanie uravneniya diffuzii, soedinennoj s vozrastaniem kolichestva veshchestva, i ego primenenie k odnoj biologicheskoy problem (An investigation of the diffusion equation, coupled with the increase in the amount of matter, and its application to a single biological problem), *Bul. Moscow State University. Section A*, 1937, 633 p.
3. **Kholodnik M., Klich A., Kubichek M., Marek M.** *Metody analiza nelinejnyh dinamicheskikh modelej* (Methods of analysis of nonlinear dynamic models), *Moscow: Peace, 1991, 368 p.*
4. **Khudyaev S. I.** *Porogovye yavleniya v nelinejnyh uravneniyah* (Threshold phenomena in nonlinear equations), М.: Fizmatlit, 2003, 272 p.

**Для цитирования:** Беляева Н. А., Яковлева А. Ф. Фронтальная волна напорного течения // *Вестник Сыктывкарского университета. Сер. 1: Математика. Механика. Информатика. 2017. Вып. 2 (23). С. 3–12.*

**For citation:** Belyaeva N. A., Yakovleva A. F. Frontal wave of pressure flow, *Bulletin of Syktyvkar University, Series 1: Mathematics. Mechanics. Informatics*, 2017, 2 (23), pp. 3–12.

СГУ им. Питирима Сорокина

Поступила 20.06.2017